

实验报告

1 总体框架

LVOC 的总体框架如下图所示。虚线内为训练变分形式部分，给定几组

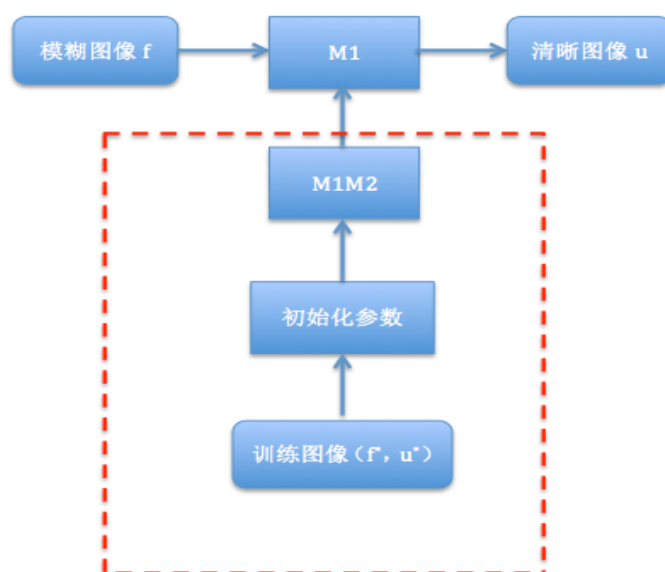


图 1: 框架

训练图像 \hat{u}, \hat{f} ，其中 \hat{u} 表示模糊图像， \hat{f} 表示 Groundtruth，经过初始化参数后，进入 M_1M_2 进行训练系数，训练后的系数输入到 cgm 模型中，给定真实的模糊图像后，经过 cgm 模型处理后得到清晰图像，原 L-PDE 给出大致思路也是这样（经过训练后的系数用于解决一类问题如去模糊）。

对于某一类问题，训练得到的系数不一定都使用。例如对于同一图像的去模糊问题，系数可能和模糊程度有关，所以希望引入评价指标，对图像的模糊程度进行评价，进而选择同等级的系数。

2 CGM 模型 (M1)

这里对 CGM 模型做了一点修改。

在论文 «A Primal-Dual Active-Set Method for Non-negativity Constrained Total Variation Deblurring Problems» 考虑原始问题：

$$\min_u \left\{ \frac{1}{2} \|Ku - f\|^2 + \beta |u|_{TV} \right\} \quad (1)$$

引入对偶变量 $p = \frac{\nabla u}{|\nabla u|}$ 后等价与解决下列方程：

$$\begin{aligned} -\beta \operatorname{div} p - K^T f + K^T K u &= 0 \\ |\nabla u| p - \nabla u &= 0 \end{aligned} \quad (2)$$

应用牛顿法解上述方程：

$$\begin{bmatrix} -\beta \operatorname{div} & K^T K \\ |\nabla u| & -(I - \frac{p(\nabla u)^T}{|\nabla u|}) \nabla \end{bmatrix} \begin{bmatrix} \delta p \\ \delta u \end{bmatrix} = \begin{bmatrix} F_1(p, u) \\ F_2(p, u) \end{bmatrix} \quad (3)$$

与原有 CGM 模型不同的是我们假设对 (3) 迭代求解时的系数 β_k 是随迭代步数变化而变化的，这也与 L-PDE 设定系数 $a(t)$ 随时间变化而变化是一致的，而系数同样是通过模块 $M_1 M_2$ 训练而来。

3 CGMOV(M1M2)

3.1 模型

对 CGM 模型加目标函数:

$$\begin{aligned} \min_{\beta} \quad & \{\frac{1}{2} \sum_{k=1}^K \int_{\Omega} (u_k(t) - \hat{f})^2 d\Omega + \frac{1}{2} a_1 \beta^2\} \\ \text{s.t. } \min_{u_k} \quad & \{\frac{1}{2} \|Ku_k - f\|^2 + \beta |u_k|_{TV}\} \end{aligned} \quad (4)$$

记 $J(u, \beta) = \{\frac{1}{2} \sum_{k=1}^K \int_{\Omega} (u_k(t) - \hat{f})^2 d\Omega + \frac{1}{2} a_1 \beta^2\}$, $E_1(u, \beta) = \{\frac{1}{2} \|Ku_k - f\|^2 + \beta |u_k|_{TV}\}$, 借助于 G-导数对 $\min_{\beta} J(u, \beta)$ 进行求解:

$$\frac{\partial J(u, \beta)}{\partial \beta} = a_1 \beta + \sum_{k=1}^K \int_{\Omega} (u_k(t) - \hat{f}) \frac{\partial u_k(t)}{\partial \beta} d\Omega = 0 \quad (5)$$

对于 $E_1(u, \beta)$ 有:

$$\nabla_u E_1(u, \beta) = K^T Ku - K^T f - \beta \text{div} p = 0 \quad (6)$$

两边同时对上式求 β 导数:

$$K^T K \frac{\partial u}{\partial \beta} - \text{div} p = 0 \quad (7)$$

所以

$$\frac{\partial u_k(t)}{\partial \beta} = (K^T K)^{-1} \text{div} p \quad (8)$$

我们用 (5) 对 β 进行修正

$$\beta = -\frac{1}{a_1} \sum_{k=1}^K \int_{\Omega} (u_k(t) - \hat{f}) \frac{\partial u_k(t)}{\partial \beta} d\Omega = -\frac{1}{b_1 \int_{\Omega} f^2 d\Omega} \sum_{k=1}^K \int_{\Omega} (u_k(t) - \hat{f}) \frac{\partial u_k(t)}{\partial \beta} d\Omega \quad (9)$$

b_1 应该较大些，保证每步搜索的精确性， $\int_{\Omega} f^2 d\Omega$ 反应了真实图像对 β 的影响。

3.2 停止准则

在这里使用两个停止准则：一是程序中给出的 KKT 误差；二是 $Index = \int_{\Omega} (u - f)^2 d\Omega$ 一直减小。第二个准则是在实验中给出的，如下图所示， $Index$ 随迭代步数先减小后增大，所以若 $Index$ 增加，则停止。

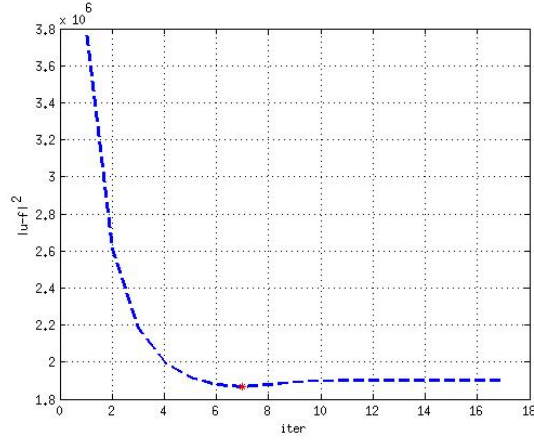


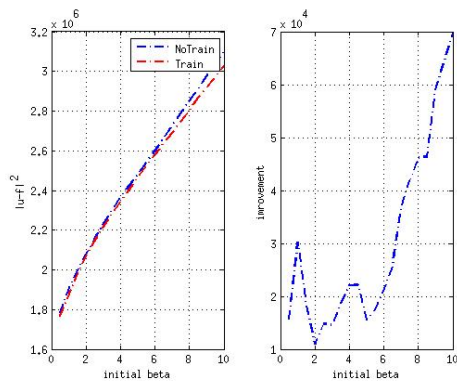
图 2: 迭代步数与 $|u - f|^2$ 的关系

4 实验结果

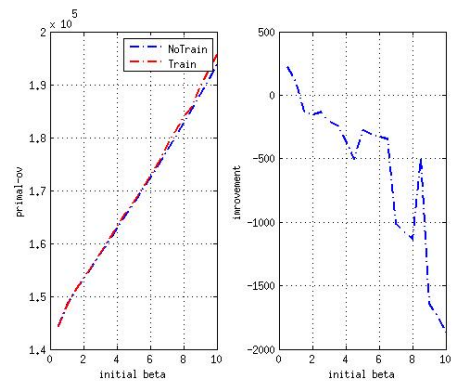
说明：(a) $\int_{\Omega} |u - f|^2 d\Omega$ 与 β_0 的关系；(b) CGM 模型目标函数与 β_0 的关系；(c) 运行时间与 β_0 的关系；(d) 总迭代步数与 β_0 的关系。

对比图 3 和图 4 (或图 5 和图 6) 可以看出，若引入第二个停止准则可以使得 $\int_{\Omega} |u - f|^2 d\Omega$ 、时间、迭代步数变小，但 CGM 模型的目标函数值却变大，由此可以看出 CGM 模型的目标函数值标识处理效果有局限性。

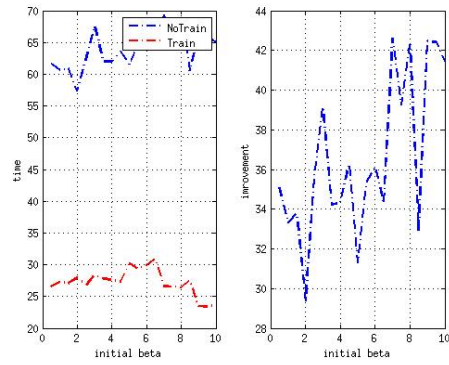
另外，系数 β_k 与两个 KKT 条件的误差似乎存在一定关系，这地方我还没想清楚，留在后面探究。



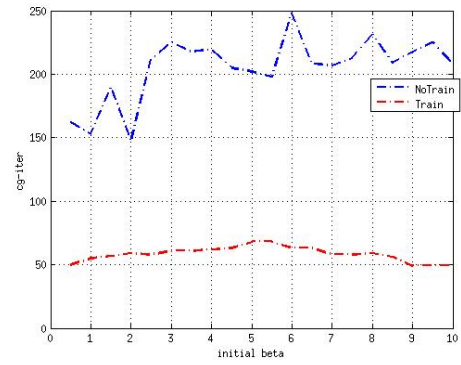
(a)



(b)

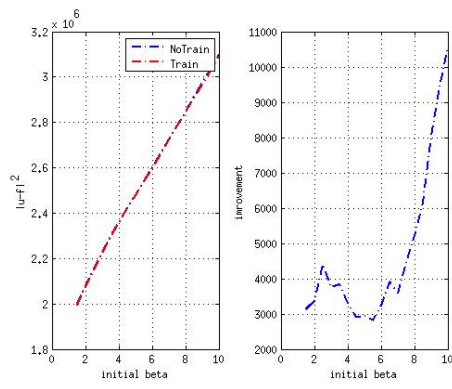


(c)

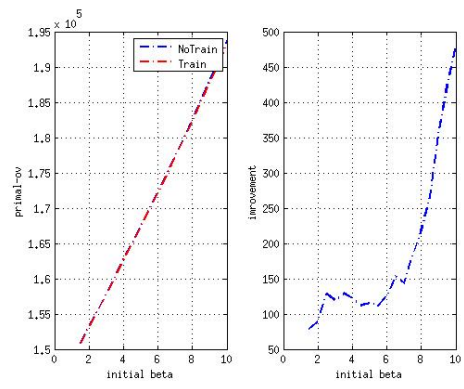


(d)

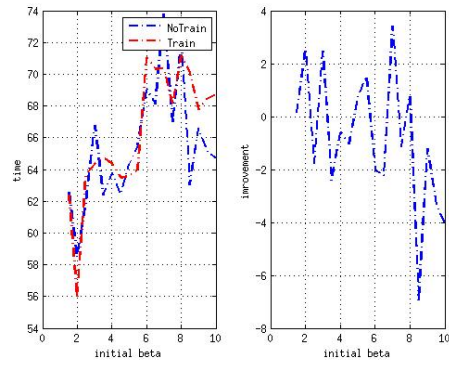
图 3: 两个停止准则, satellite128*128.tiff



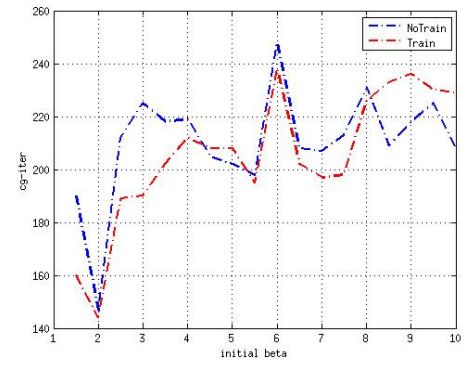
(a)



(b)

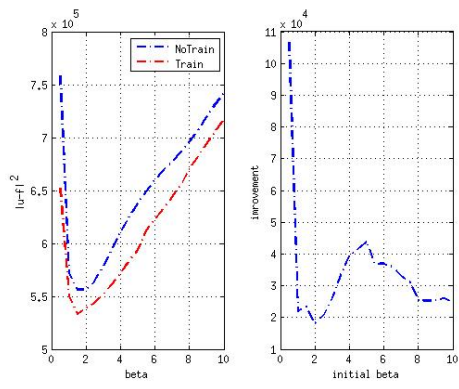


(c)

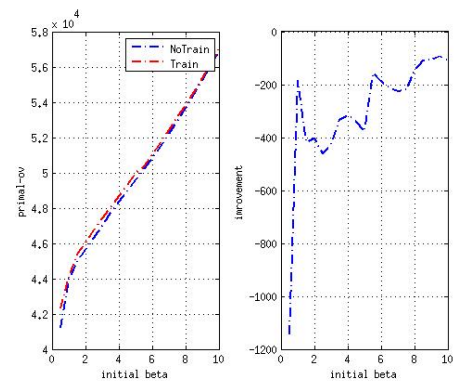


(d)

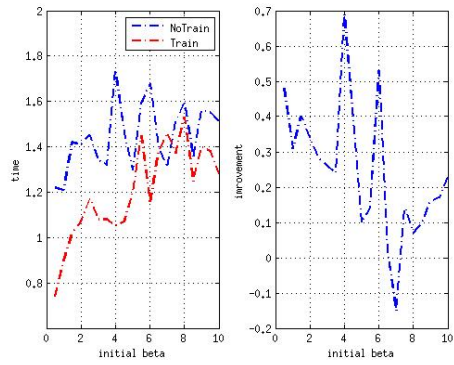
图 4: 停止准则一, satellite128*128.tiff



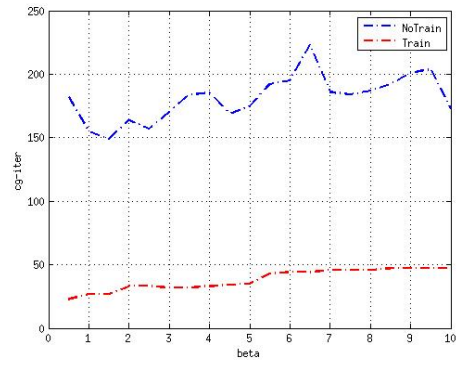
(a)



(b)

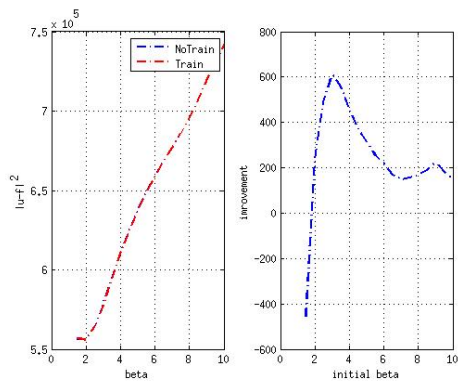


(c)

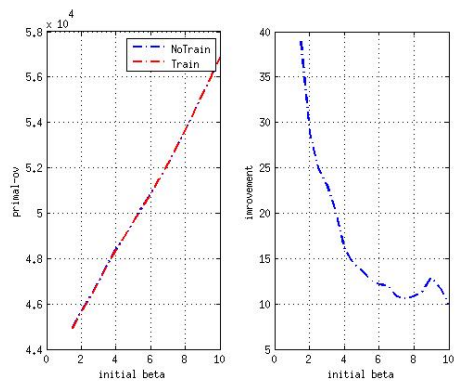


(d)

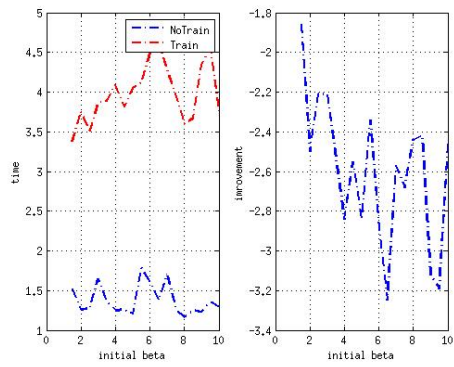
图 5: 两个停止准则, satellite32*32.tiff



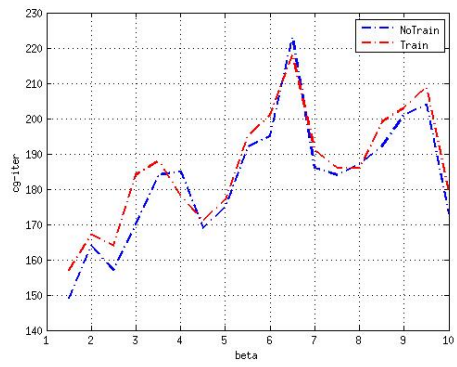
(a)



(b)



(c)



(d)

图 6: 停止准则一, satellite32*32.tiff

下一步：由于 Kkt 条件达到较好时，J 不一定小，而 J 最小时，kkt 条件不小，所以寻找并证明一个条件下两者都达到最小。

5 修改 M1M2

在 CGM 模型 (1) 中可得到欧拉 -拉格朗日方程:

$$\nabla_u E = -K^T f + K^T K u - \beta \operatorname{div}\left(\frac{\nabla u}{|\nabla u|_\epsilon}\right) = 0 \quad (10)$$

$$\begin{aligned} \delta \nabla_u E &= \nabla_u E(u + \tau \delta u) - \nabla_u E(u) \\ &= [-K^T f + K^T K(u + \tau \delta u) - \beta \operatorname{div}\left(\frac{\nabla u + \tau \nabla \delta u}{|\nabla u + \tau \nabla \delta u|_\epsilon}\right)] \\ &\quad - [-K^T f + K^T K u - \beta \operatorname{div}\left(\frac{\nabla u}{|\nabla u|_\epsilon}\right)] \\ &= \tau K^T K \delta u + \beta \operatorname{div}\left(\frac{\nabla u}{|\nabla u|} - \frac{\nabla(u + \tau \delta u)}{|\nabla(u + \tau \delta u)|}\right) + o(\tau) \end{aligned} \quad (11)$$

于是,CGMOV 模型 (4) 可转化为:

$$\begin{aligned} \min_{\beta} \quad & \left\{ \frac{1}{2} \sum_{k=1}^K \int_{\Omega} (u_k(t) - \hat{f})^2 d\Omega + \frac{1}{2} a_1 \beta^2 \right\} \\ \text{s.t.} \quad & -K^T f + K^T K u - \beta \operatorname{div}\left(\frac{\nabla u}{|\nabla u|_\epsilon}\right) = 0 \end{aligned} \quad (12)$$

考虑上述方程的拉格朗日方程:

$$\tilde{J} = J + \langle \phi, -K^T f + K^T K u - \beta \operatorname{div}\left(\frac{\nabla u}{|\nabla u|_\epsilon}\right) \rangle \quad (13)$$

$$\begin{aligned}
\delta \tilde{J} &= \tilde{J}(u + \tau \delta u) - \tilde{J}(u) \\
&= J(u + \tau \delta u) - J(u) + \langle \phi, \delta \nabla_u E \rangle + o(\tau) \\
&= 2\tau \int_{\Omega} (u - f) \delta u d\Omega + \langle \phi, \delta \nabla_u E \rangle + o(\tau) \\
&= 2\tau \int_{\Omega} (u - f) \delta u d\Omega + \tau \int_{\Omega} \phi K^T K \delta u d\Omega \\
&\quad + 2\beta \tau \int_{\Omega} \nabla \left(\nabla \phi \frac{\nabla u \nabla u}{|\nabla u + \tau \nabla \delta u| |\nabla u| (|\nabla u| + |\nabla u + \tau \nabla \delta u|)} \right) \delta u d\Omega \\
&\quad - \beta \tau \int_{\Omega} \nabla \left(\frac{\nabla \phi}{|\nabla u + \tau \nabla \delta u|} \right) \delta u d\Omega + o(\tau)
\end{aligned} \tag{14}$$

所以,

$$\frac{\partial \tilde{J}}{\partial u} = 2(u - f) + \phi K^T K = 0 \tag{15}$$

$$\frac{\partial \tilde{J}}{\partial \beta} = a\beta - \int_{\Omega} \phi \operatorname{div} \left(\frac{\nabla u}{|\nabla u|} \right) = 0 \tag{16}$$

若引入对偶向量 p , CGMOV 模型转化为:

$$\begin{aligned}
\min_{\beta} \quad & \left\{ \frac{1}{2} \sum_{k=1}^K \int_{\Omega} (u_k(t) - \hat{f})^2 d\Omega + \frac{1}{2} a_1 \beta^2 \right\} \\
s.t. \quad & \begin{cases} |\nabla u| p - \nabla u = 0 \\ -K^T f + K^T K u - \beta \operatorname{div} p = 0 \end{cases}
\end{aligned} \tag{17}$$

上述问题对应的增广拉格朗日方程为:

$$\check{J} = \int (u - f)^2 d\Omega + \frac{1}{2} a\beta + \int \phi_1 [|\nabla u| p - \nabla u] d\Omega + \int \phi_2 [-K^T f + K^T K u - \beta \operatorname{div} p] d\Omega \tag{18}$$

故,

$$\frac{\partial \check{J}}{\partial u} = 2(u - f) - \nabla(\phi_1 p) + \nabla \phi_1 + \phi_2 K^T K = 0 \tag{19}$$

$$\frac{\partial \check{J}}{\partial p} = \phi_1 |\nabla u| + \beta \nabla \phi_2 = 0 \tag{20}$$

$$\frac{\partial \check{J}}{\partial \beta} = a\beta - \int \phi_2 \text{div} p \quad (21)$$

求解 ϕ_1, ϕ_2 所用的方程 (19)(20) 等价于:

$$\begin{cases} F_1 &= 2(u - f) + (I - p^2)\nabla \phi_1 - 2p\nabla p\phi_1 + \phi_2 K^T K = 0 \\ F_2 &= \phi_1 |\nabla u| + \beta \nabla \phi_2 = 0 \end{cases} \quad (22)$$

故:

$$\begin{bmatrix} p\nabla p + (I - p^2)\nabla & K^T K \\ |\nabla u| & \beta \nabla \end{bmatrix} \begin{bmatrix} \delta \phi_1 \\ \delta \phi_2 \end{bmatrix} = \begin{bmatrix} -F_1 \\ -F_2 \end{bmatrix} \quad (23)$$

如果综合考虑两个优化问题, 我们利用欧拉 - 拉格朗日方程对 u, p, ϕ, β 同时更新:

$$\begin{cases} |\nabla u|p - \nabla u &= 0 \\ -K^T f + K^T K u - \beta \text{div} p &= 0 \\ 2(u - f) + \phi K^T K &= 0 \\ a\beta - \int_{\Omega} \phi \text{div} p &= 0 \end{cases} \quad (24)$$

6 附录 1

$$\begin{aligned} \langle \phi, \delta \nabla_u E \rangle &= \int \phi [\tau K^T K \delta u + \beta \text{div}(\frac{\nabla u}{|\nabla u|} - \frac{\nabla(u+\tau\delta u)}{|\nabla(u+\tau\delta u)|})] d\Omega \\ &= \tau \int \phi K^T K \delta u d\Omega + \beta \int \phi \text{div}(\frac{\nabla u}{|\nabla u|} - \frac{\nabla(u+\tau\delta u)}{|\nabla(u+\tau\delta u)|}) d\Omega \end{aligned} \quad (25)$$

$$\begin{aligned} \int \phi \text{div}(\frac{\nabla u}{|\nabla u|} - \frac{\nabla(u+\tau\delta u)}{|\nabla(u+\tau\delta u)|}) d\Omega &= \int_{\partial\Omega} \phi(\frac{\nabla u}{|\nabla u|} - \frac{\nabla(u+\tau\delta u)}{|\nabla(u+\tau\delta u)|}) d\Omega \\ &\quad + \int \nabla \phi(\frac{\nabla(u+\tau\delta u)}{|\nabla(u+\tau\delta u)|} - \frac{\nabla u}{|\nabla u|}) d\Omega \\ &= \int \nabla \phi \nabla u(\frac{1}{|\nabla(u+\tau\delta u)|} - \frac{1}{|\nabla u|}) d\Omega + \tau \int \nabla \phi \frac{\nabla \delta u}{|\nabla(u+\tau\delta u)|} d\Omega \end{aligned} \quad (26)$$

$$\begin{aligned}
\int \nabla \phi \nabla u \left(\frac{1}{|\nabla(u+\tau\delta u)|} - \frac{1}{|\nabla u|} \right) d\Omega &= \int \nabla \phi \nabla u \frac{|\nabla u| - |\nabla(u+\tau\delta u)|}{|\nabla(u+\tau\delta u)| |\nabla u|} d\Omega \\
&= \int \nabla \phi \nabla u \frac{(\nabla u)^2 - (\nabla u + \tau \nabla \delta u)^2}{|\nabla(u+\tau\delta u)| |\nabla u| (|\nabla(u+\tau\delta u)| + |\nabla u|)} d\Omega \\
&= \int \nabla \phi \nabla u \frac{-2\tau \nabla \delta u \nabla u}{|\nabla(u+\tau\delta u)| |\nabla u| (|\nabla(u+\tau\delta u)| + |\nabla u|)} d\Omega \\
&= -2\tau \int \frac{\nabla \phi \nabla u \nabla u}{|\nabla(u+\tau\delta u)| |\nabla u| (|\nabla(u+\tau\delta u)| + |\nabla u|)} \nabla \delta u d\Omega \\
&= 2\tau \int \nabla \left(\frac{\nabla \phi \nabla u \nabla u}{|\nabla(u+\tau\delta u)| |\nabla u| (|\nabla(u+\tau\delta u)| + |\nabla u|)} \right) \delta u d\Omega
\end{aligned} \tag{27}$$

$$\int \frac{\nabla u}{|\nabla(u+\tau\delta u)|} \nabla \delta u d\Omega = - \int \nabla \left(\frac{\nabla u}{|\nabla(u+\tau\delta u)|} \right) \delta u d\Omega \tag{28}$$

$$\delta \check{J} = \int (u + \tau \delta u - f)^2 - (u - f)^2 d\Omega + \delta_2 + \delta_3 \tag{29}$$

$$\begin{aligned}
\delta_2 &= \int \phi_1 [|\nabla(u + \tau\delta u)|p - \nabla(u + \tau\delta u)] d\Omega - \int \phi_1 [|\nabla u|p - \nabla u] d\Omega \\
&= \int \phi_1 [|\nabla(u + \tau\delta u)| - |\nabla u|] p d\Omega - \tau \int \phi_1 \nabla \delta u d\Omega \\
&= \int \phi_1 \frac{(\nabla(u+\tau\delta u))^2 - (\nabla u)^2}{|\nabla(u+\tau\delta u)| + |\nabla u|} p d\Omega + \tau \int \nabla \phi_1 \delta u d\Omega \\
&= \int \phi_1 \frac{2\tau \nabla u \nabla \delta u}{|\nabla(u+\tau\delta u)| + |\nabla u|} p d\Omega + \tau \int \nabla \phi_1 \delta u d\Omega \\
&= -2\tau \int \nabla \left(\phi_1 \frac{\nabla u}{|\nabla(u+\tau\delta u)| + |\nabla u|} p \right) \delta u d\Omega + \tau \int \nabla \phi_1 \delta u d\Omega
\end{aligned} \tag{30}$$

$$\begin{aligned}
\delta_3 &= \int \phi_2 [-K^T f + K^T K(u + \delta u) - \beta \operatorname{div} p] d\Omega - \int \phi_2 [-K^T f + K^T K u - \beta \operatorname{div} p] d\Omega \\
&= \tau \int \phi_2 K^T K \delta u d\Omega
\end{aligned} \tag{31}$$

$$\begin{aligned}
-\beta \int \phi_2 \operatorname{div}(p + \tau \delta p) d\Omega + \beta \int \phi_2 \operatorname{div} p d\Omega &= -\tau \beta \int \phi_2 \operatorname{div} \delta p d\Omega \\
&= \tau \beta \int \nabla \phi_2 \delta p d\Omega
\end{aligned} \tag{32}$$

$$\begin{aligned}
\delta_{\phi_1} F_1 &= [-\nabla(\phi_1 + \tau\delta\phi_1)p^2 - 2(\phi_1 + \tau\delta\phi_1)p\nabla p + \nabla(\phi_1 + \tau\delta\phi_1)] - [-\nabla\phi_1 p^2 - 2\phi_1 p\nabla p + \nabla\phi_1] \\
&= \\
&=
\end{aligned}
\tag{33}$$